

Um Estudo Comparativo de Estratégias de Seleção de Exemplos para *In-Context Learning* aplicado à Classificação Automática de Texto com Grandes Modelos de Linguagem

Gabriel Prenassi¹, Guilherme Fonseca², Davi Reis¹,
Washington Cunha², Marcos André Gonçalves², Leonardo Rocha¹

¹ Universidade Federal de São João del Rei, Brasil

² Universidade Federal de Minas Gerais, Brasil

{prenassigabriel, davireisjeus}@aluno.ufsj.br, lcrocha@ufsj.edu.br
{guilhermefonseca, washingtoncunha, mgoncalv}@dcc.ufmg.br

Resumo. A Classificação Automática de Texto (CAT) com Grandes Modelos de Linguagem (LLMs) pode ser feita via zero-shot (baixo custo, menor efetividade) ou fine-tuning (alto custo, maior efetividade). Este estudo investiga o in-context learning, abordagem intermediária que insere poucos exemplos no prompt, avaliando estratégias de seleção de exemplos. Comparamos seleção aleatória com métodos baseados em representações vetoriais (TF-IDF, RoBERTa, SBERT e LLM2Vec). Os resultados reforçam que o fine-tuning de Small Language Models (SLMs), como RoBERTa, oferece melhor custo-benefício. Ainda assim, o in-context learning mostra-se promissor, superando o zero-shot em efetividade sem exigir os altos custos do fine-tuning, sobretudo com boas estratégias de seleção.

Abstract. Text Classification (TC) with Large Language Models (LLMs) can be performed via zero-shot (low cost, limited effectiveness) or fine-tuning (high cost, high effectiveness). This study explores example selection strategies for the intermediate in-context learning approach, comparing random selection to methods based on vector representations such as TF-IDF, SBERT, and LLM2Vec. Results confirm that fine-tuning Small Language Models (SLMs) offers the best cost-effectiveness trade-off. However, in-context learning emerges as a promising alternative, outperforming zero-shot without the fine-tuning computational cost, particularly when using effective selection strategies.

1. Introdução

Classificação Automática de Texto (CAT) tem evoluído substancialmente, impulsionada por arquiteturas neurais de Aprendizado Profundo baseadas em *Transformers*, como os modelos de linguagem de primeira geração, tais como BERT e RoBERTa [Devlin et al. 2019, Liu et al. 2019] (aqui denominados *Small Language Models* - SLMs), e, mais recentemente, pelos *Large Language Models* (LLMs), como GPT e Llama [OpenAI et al. 2024, Grattafiori et al. 2024]. Atualmente, os LLMs representam o estado da arte em CAT [Cunha et al. 2025].

LLMs podem ser aplicados em CAT de distintas formas, conforme ilustrado na Figura 1. Na abordagem zero-shot (Figura 1a) [Lu et al. 2024, Edwards and Camacho-Collados 2024, Chandra et al. 2025], utiliza-se um LLM pré-treinado via *prompting*, sem adaptação ao domínio, o que é computacionalmente eficiente,

porém de efetividade limitada. Em contraste, o *fine-tuning* (Figura 1c) [Cunha et al. 2025] ajusta o modelo por treinamento supervisionado, elevando a especialização, porém com alto custo computacional. Já o *in-context learning* (Figura 1b) [Lu et al. 2024, Edwards and Camacho-Collados 2024, Xu et al. 2024, Chandra et al. 2025] equilibra custo e efetividade ao enriquecer *prompts* com exemplos, sem ajustar pesos, sendo o foco deste estudo. Especificamente, neste trabalho, investigamos as seguintes perguntas: **(PP1)** Qual a relação entre efetividade e eficiência dos paradigmas *zero-shot* e *fine-tuning* em CAT com LLMs? **(PP2)** Em que medida o *in-context learning*, variando o número de exemplos no *prompt*, pode otimizar esse *trade-off*? **(PP3)** Como diferentes estratégias de representação impactam o desempenho do *in-context learning*?

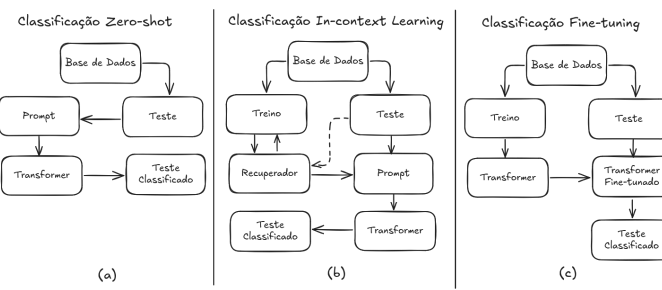


Figura 1. Comparação das abordagens de CAT usando zero-shot, in-context learning e fine-tuning. Em (b), a seta pontilhada indica que, em alguns métodos, são recuperados exemplos semelhantes ao texto a ser classificado.

Para responder às questões, compararmos: (i) *zero-shot*, com Llama 3.1 [Grattafiori et al. 2024]; (ii) *fine-tuning*, com Llama 3.1 (LLM) e RoBERTa [Liu et al. 2019] (SLM), ambos reconhecidos como estado da arte em CAT [Cunha et al. 2023, Fonseca et al. 2024, Cunha et al. 2025]; e (iii) *in-context learning*, explorando diferentes estratégias de seleção de exemplos - desde seleção aleatória até técnicas baseadas em representações vetoriais (TF-IDF [Luhn 1957], RoBERTa, SBERT [Chandra et al. 2025] e LLM2Vec [BehnamGhader et al. 2024]) - e variações na quantidade de exemplos por *prompt*. Uma ampla análise comparativa de diferentes estratégias de *in-context learning* ainda não foi realizada na literatura, e constitui-se como a principal contribuição deste trabalho.

Nossos resultados corroboram a literatura [Cunha et al. 2025], indicando que SLMs com *fine-tuning* apresentam a melhor relação entre efetividade e eficiência para CAT (**PP1**). Também demonstramos que o *in-context learning* constitui uma alternativa promissora entre *zero-shot* e *fine-tuning* (**PP2**), com desempenho geralmente melhorado pelo aumento do número de exemplos no *prompt*, embora dependente das características dos dados e de limitações computacionais. Destaca-se que estratégias de seleção baseadas em representações vetoriais proporcionam ganhos relevantes com custo computacional moderado (**PP3**). Ademais, identificamos oportunidades para aprimorar abordagens de *in-context learning* por meio de novos métodos de representação e seleção de exemplos.

2. Trabalhos Relacionados

Na última década, a tarefa de CAT avançou significativamente, impulsionada pelo surgimento de modelos SLMs e LLMs [Cunha et al. 2025]. Nesse cenário, diversos autores vêm propondo estratégias de seleção e uso de exemplos em *prompts*, visando explorar o potencial do *in-context learning* como alternativa intermediária entre *zero-shot* e *fine-tuning*, equilibrando custo computacional e desempenho.

O trabalho de [Liu et al. 2022] propõe a utilização de representações geradas por RoBERTa *fine-tuned* para recuperar exemplos similares ao texto a ser classificado, enriquecendo o *prompt* com contexto relevante. A quantidade de exemplos inseridos varia aleatoriamente conforme o cenário. Em [Lu et al. 2024], os autores introduzem um *framework* em duas etapas: (i) redução do espaço de rótulos por uma técnica de autorredução e (ii) comparações contrastivas par a par entre os rótulos restantes. São utilizados 3 ou 5 exemplos, selecionados aleatoriamente, dependendo do LLM. Já [Edwards and Camacho-Collados 2024] investiga a seleção aleatória de exemplos, inserindo um por classe no *prompt* para comparar *prompting* com *fine-tuning*. Em [Xu et al. 2024], propõe-se a combinação de LLMs com SLMs aplicados ao *fine-tuning* atuando como *plug-ins*, sendo os exemplos escolhidos aleatoriamente, com a quantidade variando por conjunto de dados. Outros dois estudos abordam aspectos distintos. Em [Kumar and Talukdar 2021], investiga-se a influência da ordem dos exemplos no *prompt*, sugerindo que ela impacta a generalização. A seleção dos exemplos é aleatória, e a quantidade não segue critério específico. Já [Chandra et al. 2025] apresenta um método para otimizar a quantidade de exemplos no *prompt*, utilizando um classificador multi-rótulo que mapeia características das instâncias de teste - como *embeddings* e distribuições de rótulos de vizinhos - para prever o número ideal de exemplos, selecionados com base em similaridade via SBERT.

Desses seis trabalhos, apenas [Chandra et al. 2025] foca explicitamente na quantidade de exemplos para o *prompt*. Em quatro estudos, a seleção é aleatória; nos dois restantes, empregam-se modelos SLMs (RoBERTa ou SBERT) para seleção por similaridade. Nossa trabalho se diferencia por investigar simultaneamente dois aspectos comumente tratados separadamente: (i) a variação da quantidade de exemplos no *prompt*; e (ii) diferentes formas de representação vetorial para seleção. Além das abordagens já exploradas na literatura, investigamos representações clássicas como TF-IDF [Luhn 1957] e técnicas mais recentes, como o LLM2Vec [BehnamGhader et al. 2024], que explora a capacidade semântica dos LLMs para gerar *embeddings* informativos.

3. Metodologia Experimental

3.1. Ambiente Experimental

Adotamos o Llama 3.1 como modelo de LLM por ser aberto e apresentar o melhor desempenho em CAT [Cunha et al. 2025]. Nos experimentos de *fine-tuning*, utilizamos a versão Llama-3.1-8B, replicando hiperparâmetros da literatura [Cunha et al. 2025]: taxa de aprendizado inicial de $2e^{-4}$, 4 épocas, *batch size* 4 e *max_len* 256. Para *zero-shot* e *in-context learning*, empregamos Llama-3.1-8B-Instruct, otimizado para *prompting*. Aplicamos quantização em 4 bits em ambos, reduzindo o consumo de memória GPU sem prejuízo relevante [Hu et al. 2021]. Além do Llama, usamos o RoBERTa, referência como SLM em CAT [Cunha et al. 2023, Cunha et al. 2025]. No *fine-tuning* do RoBERTa, seguimos [Cunha et al. 2025] com taxa de aprendizado inicial $5e^{-5}$, máximo de 20 épocas e paciência de 5. Realizamos *grid search* para *max_len* (128, 256) e *batch size* (16, 32). Para *in-context learning*, geramos representações vetoriais com quatro modelos: RoBERTa, RoBERTa *fine-tuned*, SBERT (*all-MiniLM-L6-v2*) [Reimers and Gurevych 2019] e LLM2Vec-Meta-Llama-31-8B-Instruct-mntp [BehnamGhader et al. 2024].

Métrica de Avaliação: Avaliamos a efetividade dos modelos pela Macro-F1, recomendada para cenários com classes desbalanceadas. O custo computacional foi avaliado utili-

zando os tempos de execução (em segundos). Para as estratégias *zero-shot*, considerou-se apenas o tempo de classificação, já que não há treinamento. Nas estratégias de *in-context learning* com representações, incluímos o tempo de geração das representações de treino e teste, além da classificação. A estratégia com representação do RoBERTa *fine-tuned* também inclui o tempo de ajuste dos pesos do modelo. Na abordagem randômica, contabilizamos apenas o tempo de seleção aleatória e de classificação. Já no *fine-tuning* (de LLMs ou SLMs), consideramos o tempo de ajuste dos pesos e de classificação dos exemplos de teste. Os experimentos foram conduzidos com validação cruzada estratificada (*stratified k-fold*), utilizando 10 *folds* em uma instância AWS g5.2xlarge. As diferenças nos resultados foram validadas estatisticamente por meio de um teste-t pareado com nível de confiança de 95%, aplicando-se a correção de Bonferroni [Hochberg 1988].

Bases de Dados: Utilizamos as coleções descritas na Tabela 1. Dimensionalidade refere-se ao tamanho do vocabulário e densidade à média de palavras por documento.

Base de Dados	# Documentos	Dimensionalidade	# Classes	Densidade	Assimetria
TREC	5.952	3.032	6	10	Desbalanceada
Twitter	6.997	8.135	6	28	Desbalanceada
SST-1	11.855	9.015	5	19	Balanceada
ACM	24.897	48.867	11	65	Desbalanceada

Tabela 1. Bases de dados utilizadas nos experimentos.

3.2. Procedimento Experimental

Avaliamos o desempenho da abordagem *zero-shot* em todos os conjuntos de dados utilizando o *prompt* ilustrado na Figura 2, contendo apenas um exemplo genérico, sem relação com os dados de treinamento, destinado a indicar o formato esperado de resposta (A, B, C etc. são rótulos). Esse exemplo foi mantido fixo para todos os documentos classificados.

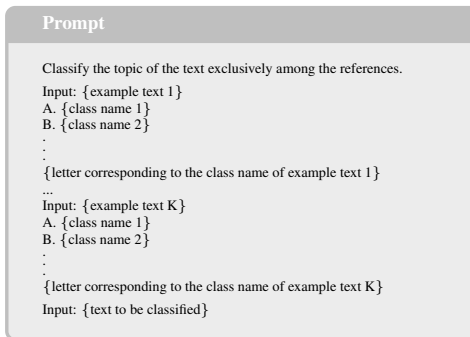


Figura 2. Para zero-shot, utilizou-se apenas um exemplo que não pertence ao treino. Já para in-context learning, foram usados até K exemplos do treino.

Na abordagem *in-context learning*, conduzimos experimentos com inserção progressiva de 10 a 100 exemplos no *prompt*, em intervalos de 10, mantendo a estrutura ilustrada na Figura 2. Na seleção randômica, exemplos foram uniformemente selecionados do conjunto de treinamento. Nas estratégias baseadas em representações vetoriais (TF-IDF ou *embeddings* dos modelos), utilizamos KNN para selecionar os mais similares ao documento alvo, ordenando-os por similaridade decrescente. Cada documento teve um *prompt* específico. Por fim, comparamos os resultados das abordagens *zero-shot* e *in-context learning* ao desempenho obtido por modelos RoBERTa e Llama-3.1-8B após *fine-tuning*.

4. Resultados

Os resultados relacionados às avaliações descritas na seção anterior estão sumarizados nos gráficos da Figura 3. Nos gráficos de (a) a (d), apresentamos os resultados relacionados à efetividade medida por Macro-F1 (eixo y) e nos gráficos de (e) a (h), os resultados

relacionados à eficiência medida pelo tempo (eixo y). Todas as análises são realizadas variando a quantidade de exemplos do treino utilizados nos *prompts* (eixo x), onde $x = 0$ indica resultados relacionados ao *zero-shot*. As linhas azul e laranja representam, respectivamente, os resultados dos modelos Llama-3.1-8B e RoBERTa (SLM), ambos com *fine-tuning* aplicado com todo o conjunto de treinamento e a classificação foi realizada sem o uso de estratégias de *prompting*, o que justifica a ausência de variação da métrica Macro-F1 e Tempo em relação ao número de exemplos utilizados durante a inferência.

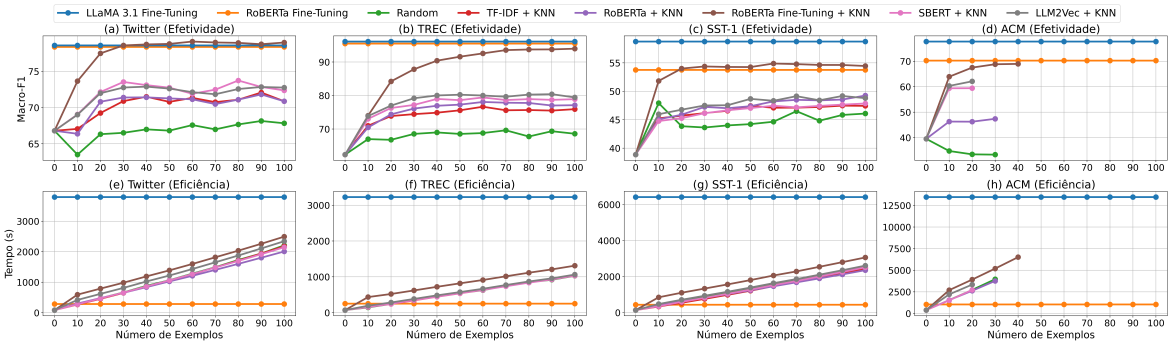


Figura 3. Comparação da Efetividade (Macro-F1) e Eficiência (Tempo) entre abordagens de CAT usando zero-shot, fine-tuning e variações de in-context learning.

PP1 – Zero-Shot versus Fine-Tuning: A Figura 3 revela uma diferença marcante na efetividade entre abordagens *zero-shot* e aquelas com *fine-tuning* em LLMs ou SLMs, com estas últimas apresentando desempenho superior. LLMs impõem custo computacional significativamente maior em comparação com abordagens *zero-shot* e SLMs com *fine-tuning*. Os resultados confirmam que SLMs, como RoBERTa, oferecem o melhor equilíbrio entre efetividade e custo computacional [Cunha et al. 2025]. Tal equilíbrio torna os SLMs com *fine-tuning* a escolha mais adequada para tarefas de CAT quando o objetivo é a maximização do balanço (*trade-off*) custo-benefício.

PP2 – In-Context Learning entre Zero-Shot e Fine-Tuning: Para investigar estratégias de *in-context learning*, variamos a quantidade de exemplos nos *prompts*, considerando seis diferentes estratégias, com o objetivo de analisar o impacto dessa variação no desempenho dos modelos em CAT. Os dados apresentados na Figura 3 indicam que não existe um número ótimo universal de exemplos para os *prompts*, variando conforme as características da coleção e a estratégia de seleção adotada. Contudo, observa-se que, em geral, o *in-context learning* aprimora a efetividade da classificação com Llama 3.1 em comparação à abordagem *zero-shot*. Embora o *overhead* associado à seleção de exemplos para *in-context learning* eleve o tempo de processamento em relação ao *zero-shot*, este permanece significativamente inferior ao tempo necessário para o *fine-tuning* dos LLMs, indicando que o *in-context learning* representa uma alternativa promissora entre *zero-shot* e *fine-tuning*. Destaca-se, entretanto, a limitação observada na coleção ACM, onde nenhuma configuração de *in-context learning* com mais de 40 exemplos no *prompt* foi viável devido a restrições de memória GPU, associadas à alta densidade, à elevada dimensionalidade e ao grande número de classes do conjunto. Apesar dos avanços do *in-context learning*, a melhor relação entre efetividade e eficiência continua sendo observada no SLM RoBERTa.

PP3 – Impacto das Representações no Desempenho do *In-Context Learning*: A análise das estratégias de seleção de exemplos destaca sua importância no *in-context learning*, conforme mostrado na Figura 3. Em todas as quatro coleções avaliadas, a seleção randômica teve desempenho consistentemente inferior às abordagens baseadas em representações vetoriais, especialmente com o aumento do número de exemplos nos *prompts*. Na coleção da ACM, onde há maior número de classes, essa diferença foi acentuada, evidenciando que seleções aleatórias tendem a incluir amostras pouco representativas. Isso reforça que *prompts* adaptados a cada documento promovem ganhos de efetividade sem aumentos substanciais de custo computacional. Entre as estratégias vetoriais, o método *RoBERTa Fine-Tuning + KNN* foi o único a se aproximar do desempenho dos modelos RoBERTa e LLaMA 3.1 *fine-tuned*, mesmo com poucos exemplos nos *prompts*, na maioria dos casos. Na coleção Twitter, por exemplo, com apenas 30 exemplos já é possível alcançar a mesma efetividade do LLM com *fine-tuning* a um custo apenas ligeiramente superior ao RoBERTa com *fine-tuning*. Isso sugere que o ajuste da representação ao contexto a ser utilizado é fundamental em abordagens *in-context*.

De modo geral, o método vetorial *RoBERTa Fine-Tuning + KNN* não apresenta ganhos relevantes de efetividade em comparação ao *fine-tuning* isolado e, sobretudo, ao LLM *fine-tuned*. Na coleção SST-1, por exemplo, embora essa abordagem atinja um empate estatístico com o RoBERTa *fine-tuned* utilizando 20 exemplos, isso ocorre com maior custo computacional, e ambas permanecem abaixo da efetividade do LLM. De forma semelhante, na coleção ACM, nenhuma estratégia *in-context* alcança o desempenho do LLM, sendo que a abordagem *RoBERTa Fine-Tuning + KNN*, com cerca de 30 exemplos, consegue igualar o RoBERTa *fine-tuned* em efetividade, mas a um custo substancialmente mais elevado. Esses achados reforçam a necessidade de desenvolver representações vetoriais mais eficazes na recuperação de exemplos relevantes, além de investigar alternativas ao KNN que promovam maior diversidade na seleção dos exemplos nos *prompts*, ampliando o contexto e reduzindo, via *in-context learning*, a lacuna de desempenho frente aos modelos RoBERTa e LLaMA *fine-tuned*.

5. Conclusão e Trabalhos Futuros

Este estudo analisou o uso de LLMs em tarefas de Classificação Automática de Texto (CAT), com ênfase no *in-context learning* como alternativa intermediária entre *zero-shot* e *fine-tuning*. Confirmamos que o *fine-tuning* com SLMs, como RoBERTa, apresenta a melhor relação entre efetividade e eficiência [Cunha et al. 2025]. No entanto, o *in-context learning* com LLMs, aliado a seleções baseadas em representações vetoriais robustas, demonstrou potencial ao reduzir substancialmente a diferença em relação a métodos supervisionados, mesmo com poucos exemplos. Observamos limitações, como sensibilidade aos dados, restrições dos *prompts* e limitações das representações na seleção. Os achados apontam direções para pesquisas futuras, incluindo aprimoramento de técnicas de representação e seleção, bem como abordagens híbridas que combinem de forma eficiente os pontos fortes de LLMs e SLMs.

Agradecimentos

Este trabalho foi apoiado por CNPq, Capes, Fapemig, Fapesp, AWS, NVIDIA, CIIA-Saúde e INCT-TILDIAR (408490/2024-1).

Referências

- BehnamGhader, P., Adlakha, V., Mosbach, M., Bahdanau, D., Chapados, N., and Reddy, S. (2024). Llm2vec: Large language models are secretly powerful text encoders.
- Chandra, M., Ganguly, D., and Ounis, I. (2025). One size doesn't fit all: Predicting the number of examples for in-context learning. In *Advances in Information Retrieval*, pages 67–84, Cham.
- Cunha, W., França, C., Fonseca, G., Rocha, L., and Gonçalves, M. A. (2023). An effective, efficient, and scalable confidence-based instance selection framework for transformer-based text classification. In *Proceedings of the 46th ACM SIGIR, SIGIR '23*, page 665–674.
- Cunha, W., Rocha, L., and Gonçalves, M. A. (2025). A thorough benchmark of automatic text classification: From traditional approaches to large language models.
- Devlin, J., Chang, M.-W., Lee, K., and Toutanova, K. (2019). Bert: Pre-training of deep bidirectional transformers for language understanding.
- Edwards, A. and Camacho-Collados, J. (2024). Language models for text classification: Is in-context learning enough? In *Proceedings of the 2024 LREC-COLING 2024*, pages 10058–10072, Torino, Italia.
- Fonseca, G., Prenassi, G., Cunha, W., Gonçalves, M., and Rocha, L. (2024). Estratégias de undersampling para redução de viés em classificação de texto baseada em transformers. In *Proceedings of the 30th Brazilian Symposium on Multimedia and the Web*, pages 144–152, Porto Alegre, RS, Brasil. SBC.
- Grattafiori, A. et al. (2024). The llama 3 herd of models.
- Hochberg, Y. (1988). A sharper bonferroni procedure for multiple tests of significance. *Biometrika*, 75(4):800–802.
- Hu, E. J., Shen, Y., Wallis, P., Allen-Zhu, Z., Li, Y., Wang, S., Wang, L., and Chen, W. (2021). Lora: Low-rank adaptation of large language models.
- Kumar, S. and Talukdar, P. (2021). Reordering examples helps during priming-based few-shot learning. In *Findings of ACL-IJCNLP 2021*, pages 4507–4518, Online. Association for Computational Linguistics.
- Liu, J., Shen, D., Zhang, Y., Dolan, B., Carin, L., and Chen, W. (2022). What makes good in-context examples for GPT-3? In *Proceedings of Deep Learning Inside Out (DeeLIO 2022): The 3rd Workshop on Knowledge Extraction and Integration for Deep Learning Architectures*, pages 100–114.
- Liu, Y., Ott, M., Goyal, N., Du, J., Joshi, M., Chen, D., Levy, O., Lewis, M., Zettlemoyer, L., and Stoyanov, V. (2019). Roberta: A robustly optimized bert pretraining approach.
- Lu, Z., Tian, J., Wei, W., Qu, X., Cheng, Y., Xie, W., and Chen, D. (2024). Mitigating boundary ambiguity and inherent bias for text classification in the era of large language models. In *Findings of ACL 2024*, pages 7841–7864.
- Luhn, H. P. (1957). A statistical approach to mechanized encoding and searching of literary information. *IBM Journal of Research and Development*, 1(4):309–317.
- OpenAI et al. (2024). Gpt-4 technical report.
- Reimers, N. and Gurevych, I. (2019). Sentence-bert: Sentence embeddings using siamese bert-networks. In *Proceedings of the 2019 EMNLP*.
- Xu, C., Xu, Y., Wang, S., Liu, Y., Zhu, C., and McAuley, J. (2024). Small models are valuable plug-ins for large language models. In *Findings of ACL 2024*, pages 283–294.